

# 放射性同位素 在地质勘探上的应用

苏联专家报告资料汇编之五

上海科学技术出版社

“內部資料、注意保存”



放射性同位素在地質勘探上的应用

蘇聯和平利用原子能技术展览会

上海學習委員會

\*

上海科学技术出版社出版

(上海南京西路 2004 号)

上海市书刊出版业营业許可證出 093 号

上海劳动印制厂印刷 新华书店上海发行所总經售

\*

開本 787×1092 華 1/16 印張 3 3/8 字數 69,000

1959 年 4 月 第 1 版 1959 年 4 月 第 1 版 第 1 次印刷

印數 1—6,000

统一书号：13119·276

定价：(十二)0.42 元

## 前　　言

苏联和平利用原子能科学技术展览会，在上海展出期间，苏联专家组的全体同志，向来自全国二十六个省、市科学研究机关、高等学校、工厂、医院等的科技人员作了百余次的专题报告和座谈会。为了让这些报告更广泛地满足我国原子能科学工作者的需要起见，因此根据报告内容汇编成：1. 热核反应和反应堆；2. 放射性同位素在工业上的应用；3. 放射性同位素在农业和生物学上的应用；4. 放射性同位素在医学上的应用；5. 放射性同位素在地质勘探上的应用；6. 同位素的生产；7. 防护技术等七本专輯。这些講稿，有的是从原稿翻译，有的是根据记录稿整理，因时间匆促，水平有限，在内容上一定有不少错误，希望各地读者閱后提出宝贵意见。

苏联和平利用原子能科学技术展览会上海学习委员会

一九五九年三月

## 目 錄

1. 鈾礦普查的方法 .....	1
2. 放射性同位素和輻射測量在地質學中的應用 .....	8
3. 野外放射性測量的物理和地球化學基礎 .....	19
4. 探測鈾礦床的 $\gamma$ -測量方法 .....	24
5. 射氣測量 .....	31
6. $\gamma$ -測井法 .....	36
7. 放射性取樣方法 .....	39
8. 實驗室放射性分析方法 .....	42
9. 鈾礦的勘探 .....	48
10. 怎樣找尋鈾礦 .....	51

# 鈾矿普查的方法

B. J. 沙什金

現代，鈾是主要的原子核燃料。鈾的自然富集是在較多种多样的条件下形成，包括岩漿作用的最后阶段，变質現象，沉积輪迴，和風化作用这些范围。

現代知道的鈾的工业矿床根据矿体的形狀，以及矿化的性質和圍岩，通常划分成六类。含鈾偉晶岩和偉晶岩脉屬於第一类；在噴出岩和受强烈变質的沉积岩中的石英脉，石英碳酸鹽脉，螢石重晶石脉屬於第二类；受强烈变質的沉积岩中的成層矿体屬於第三类；海相沉积岩層的含鈾矿層屬於第四类；受微弱变質的沉积岩的成層矿体屬於第五类；在大陸相正常的沉积岩層中的成層和透鏡狀的矿体屬於第六类。

知道了鈾矿床的基本类型，就可以估价个别地区的远景，以便进行鈾矿普查場地的选择。但是，显然，天然鈾矿所有各式各样的聚集，不仅仅限于已經知道的类型。經常可能見到不屬於已知类型的鈾矿但具有工业价值。因此地質学家同其它地質工作一道所进行的鈾矿普查和不是專家而是群众性的找矿具有很大意义。由于借助專門儀器易于发现鈾矿这就有可能大規模地进行鉆矿普查。

鈾矿的放射性，給予了在自然条件下发现矿鈾的强有力手段和确定鈾矿普查的方法。

在鈾矿普查中起主导作用的当推辐射測量法，它是基于用各种方法和借助各种各样的儀器紀錄放射性辐射。現代电子学的发达可以設計出为各种放射測量法所需要的儀器。近年来，在应用半导体和小尺寸的零件的基础上产生了放射儀的技术革新，能够制成鑿定性能很好的輕便的袖珍儀器。現在当普查鈾矿时不仅采用近代的儀器，同时也使用早先出品的已較陈旧的儀器，尽管这些陈旧儀器有一些缺点，但完全还能工作。

在鈾矿普查时，主要采用放射性辐射中最流行 $\gamma$ 一辐射紀錄。 $\gamma$ 一射綫被帶有气体放电計數管即所謂蓋革計數管和閃爍計數管的儀器紀錄下来。閃爍計數管具有很大的灵敏度和相当小的底數。但是它們比較貴重，当用来工作时，需要有一定的技术。

因此，目前为了群众找矿，合理地运用帶有气体放电計數管的簡單儀器。

除了放射測量法以外，在鈾矿普查时相当广泛地采用发光方法。此法是基于某些鈾矿物在紫外光中具有发光的性能。这就給予了簡單确定鈾矿的可能性，鈣鈾云母、板菱鈾矿、磷鈾鈣矿、含鈾的玻璃蛋白石和某些其他矿物具有这样的发光性。大多數鈾矿物不发光。但是

他們可以借助所謂珠球发光分析被确定为鈾矿物，珠球发光分析是根据被活化的氯化鈉在紫外綫中发光的性能为基础，含鉀氯化鈉珠球的发光决定于重元素如鐵、鉻、銅、錳等杂质是否存在。这些元素部分或完全地使得鈾珠球的发光性熄灭。

当含有四价和六价鈾的不发光的鈾矿物，溶解在弱酸中(醋酸、正磷酸)时，六价的鈾溶解可以形成发光的化合物。將任何鈾矿物溶解在具有氧化剂性质的弱酸(2—5%)中，結果也一样。

同样用不发光鈾矿物的这种性质来发现这些鈾矿物，为此用鈾矿物的噴霧器把酸噴到矿石的表面，当酸在鈾矿的表面蒸发以后，就形成了在紫外光中发光的感光膜。

发光分析借助最簡單的日光灯或帶有石英一水銀灯泡的发光儀进行。用石英一水銀灯泡可以在地下和山地坑道中以及夜間进行工作，目的在于直接在揭开的岩石上发现鈾矿。对于定量的珠球分析采用較复杂的发光儀。

在普查时当放射測量法发现岩石中放射性增高时，并且必需確証这种放射性和鉈有关，而不是和鈱有关。此时，通常采用发光分析。除了上述发现鈨矿石和鈾矿物的方法外，还应提出一种最簡單的方法——攝影法。放射性元素的辐射作用打到照象底板上时发生类似的作用。因与 $\alpha$ 射綫起着主要的作用，为了获得放射照相(放射性矿石标本的照象底片)需要直接把被研究的矿石放到照相的底片上。如果經過3—7天曝光冲洗照相的底片，那末面对放射岩石或矿物的那一面将变为暗黑。目前，攝影法主要用来研究放射性矿物在标本磨光面上的分布狀況。在儀器缺乏的时候，它有时可以被采用对个别标本的放射性的檢查。

在天然的矿体上直接利用鈾、鉈的放射性进行普查与其它矿体的普查相比較，鈾的普查大大地加速和簡易化了。

在岩石露头相当多或当表土不很厚的属于坡积層的地区各种形式的伽瑪方法将是放射性矿物普查的主要方法。

1:25000和更大比例尺的地上伽瑪普查足以保證該地区得到最大限度的觀察。这样普查是在于横越全区作一系列剖面，剖面綫之間的距离为250—100公尺，普查工作者帶着手提幅射儀順剖面移动，找尋高伽瑪辐射强度的地点。同时并测量位于剖面綫之間但与之鄰近的全部露头的伽瑪辐射。岩石的放射强度增高或根据听觉从耳机上計算脉冲频率，或根据儀器指針的偏轉来确定。

所有高伽瑪辐射的地点都要詳細研究以便查明伽瑪强度最高的点，为此即需进行所謂异常的詳查，也就是說作詳細的面积伽瑪測量，剖面綫之間的距离为5—10公尺，測点之間的距离为1—2公尺。在高伽瑪辐射地区进行工作量不大的清除浮土或基岩表面風化層工作并选择供室内研究的岩石标本。同时應該作出該区的地質描述，如果可能的話，还应找寻与高放射活性有关的矿物。当进行地面普查时，采用СГ—42，СРЛ—1和СРЛ—2閃爍幅射儀和帶有气体放电計數管的袖珍幅射儀。

岩石的伽瑪輻射可能与鉱化有关，也可能与釔矿化有关。矿化的性质可通过观察和鑒定与放射性有关的矿物加以解釋；关于样品之室内分析或野外射气觀察下面还要談到。

还可以用現代的裝备通过飞机和汽车进行快速的伽瑪普查。进行航空測量是采用灵敏度高而惰性低的儀器，飞行高度为25—75公尺，飞行速度为80—160公里/小时。最近已开始成功地采用。

由于照射隅角减小以及伽瑪射線被空气吸收的結果，从地面物体发出的伽瑪輻射强度随着輻射接收器的高度而减少，减少程度与距离的平方呈比例。并且被研究物体的面积愈小，輻射强度随高度增加而减小愈快。因此为了观察地面上范围不大的矿体露头，應該尽可能飞得低些。然而当飞得低时，沿着一定路綫飞行所紀錄的地帶之在寬度上又減少了。因此为了使航空測量更好地用于大面积調查，飞行高度降低同时还应伴随路綫的加密。通常路綫之間的距离采取250公尺，有的加密至100公尺。路綫方向采取橫越主要地質構造的走向。

当进行航空測量时，地区的地形严重地影响測量結果；正地形引起伽瑪輻射强度增大，而負地形則使之減低。为了随时知道飞行高度，与航空輻射儀一道，并采用无线电測高器。

現在航空伽碼測量主要是在具有36个 BC—9型計數器的 ACM—25型儀器上进行，它的灵敏度在每小时一微倫琴的照射下是50—60脉冲/秒。儀器的讀數被記錄在帶子上，同时无线电測高器的讀數也被記錄下来。最近作了閃爍航空伽碼儀的試驗，在这种儀器中利用碘化鈉晶体、閃爍性的液体和塑料作为伽碼射線的接收器。显然，塑料制成的閃爍儀是最方便的。閃爍儀的灵敏度每一微倫琴/小时达到200—300脉冲/秒。

航空伽碼測量所得到的伽碼射線强度曲綫記錄在进行地形和儀器隋性的校正以后，減去天然底數和校正度數，并換算成微倫琴/小时。

航空伽碼測量的結果使我們可以按照岩石的放射性克拉克值來識別岩石露头。这样以来，可以明显地分出具有很大伽碼射線强度的酸性火成岩露头和伽碼場特出降低的碳酸岩、基性岩露头。

岩石的改變表現出伽碼射線强度曲綫有节奏的变化。这些資料可用来地質制圖和部分地为了划出放射性增高的地区，这些地区可以視為在地面上进一步寻找放射性元素的远景地区。

狭窄的即所謂局部的异常对于寻找鉬和釔矿床有着直接的意义，这种异常与矿体表面的露头相符。在发现这种异常的时候，必須作重复飞行檢查，然后轉交給地面普查队检查。

因为在航空伽碼測量的时候划出的异常數量比較大，所以需要对它們进行比較大範圍的地面檢查工作。为了减少可作为发现鉬矿的远景异常的數目，根据异常所屬的某种地質構造和岩石的类型，以及异常的大小和形狀來評价异常。这就可以确定了檢查异常的首要性。被发现的异常很大數量不同鉬矿体相联系，而同釔矿体联系。为了区分鉬和釔的异常現时采用能够根据能量有選擇地記錄輻射的閃爍航空伽碼輻射儀，帶有这种儀器只能測量屬於釔系元素

所放射的硬伽碼射線，能够在空中把鈾的异常从鉻的异常中分出来。

实际上地面异常的檢查与地面詳細普查完全沒有區別，主要是用伽碼方法进行和加上射气的方法以及有时候还进行某种形式的地球化学普查。

在表土厚度很小和緩傾斜地形的地区；航空伽碼普查得出很好的效果。在多山的地区，特別是大森林地区使用航空伽碼測量方法的效力大大地降低。它完全不适用于具有表土厚度大的地区。

航空伽碼測量方法发现了大量的而且主要是沉积类型的矿床，这是由于这种类型的矿床具有很大的厚度，并且在地面上有延伸的露头，很容易从空中确定它們。在良好的情况下，也可以发现热液矿体，但是这种情况是很少的，有时候在航空伽碼測量时遗漏了地表露头不太多的富含鉻矿石的矿区，这些矿区后来被地面普查所发现。

航空伽碼測量法能很快地普查很大的面积，但是同时决不能認為这个面积上所发现的全都有呈矿現象。为了对这个面积进行最后的远景評价必須轉入比它稍迟一点进行的地 面 普 查。在通行汽車的地形条件下，以及在表土厚度不太大的时候，快速的伽碼測量可以在运行的汽車进行。汽車伽碼測量的辐射計与航空伽碼測量的辐射計相类似，它和航空辐射計的区别仅在于技术上的細节。伽瑪辐射的强度紀錄在紀錄帶子上，并且控制帶子長度的机械与汽車的速度儀相联系，帶子的長度与汽車行进的距离是成比例的。

辐射的接收器放在汽車棚子的上部。这就保證射線击中辐射計接收器的地帶得到扩大。

我們把汽車伽瑪測量的剖面綫間距定为100—250公尺，但是由于缺乏道路所引起汽車運轉的困难，剖面綫往往是弯曲的，来适应地区的跨越性。

汽車伽瑪測量較之航空伽瑪測量的优点是有更大的灵敏性，在发现异常以后可以立即进行檢查，而所用的工作代价又是最小的。但是使用汽車伽瑪測量的成效完全决定于地区的跨越性。对于使用汽車伽瑪測量有利的条件是很少遇到的，因此这种方法沒有获得推广。

伽瑪射線的穿透性弱到这种地步以致在无活动性的浮土厚50—60公分时基岩的伽瑪射線完全被吸收掉了。因此基岩的伽瑪辐射实际上只能在岩石的露出表面上进行記錄。虽然如此，但伽碼測量也能发现表土深达1—2公尺以下的放射性矿体，有时甚至更深。这主要由于在矿体露头的四周有放射性元素的扩散量。

量共分三种：带有放射性矿物的岩石碎片的称为机械量；靠鉻矿物被溶解轉移到离开矿体露头的一定距离接着又在浮土中沉淀下。鉻的化合物及其蜕变产物主要是鎳，这样形成的量称为鹽量；放射性气体——氡的扩散地帶称为气体量，氡是鎳的直接蜕变产物。氡的扩散距离是决定于矿物和矿石分出氡的能力(所謂矿石的射气性)，还决定于表土的气体渗透性。射气量經常伴随着氡的蜕变产物量。它們是鉻系的主要伽碼辐射体。在自然界中可能有各种不同的复杂的配合和这些量的互相叠加。結果在矿体基岩表面的表土中形成了量，这种量可

以靠伽碼測量來確定。量的形成和他們的規模決定於岩石和礦石風化作用的性質。很容易被伽碼測量發現的這種強度的量，一般不超出基岩表面一公尺。

如果基岩被1公尺至3—5公尺的浮土所復蓋，則氮射氣測量即成為普查鈾礦的主要方法，此法可以研究礦體的射氣量，從而發現位於浮土下面的礦體露頭。

當進行深度為0.5—1.0公尺的射氣測量時，藉特制的采樣器將含有氮的土壤樣品插入電離室中。樣品中氮之數量根據電離流，借一高靈敏度的電流計測出。此種電流計可以測出氮的最小濃度為0.1愛曼（一愛曼=1.10<sup>-10</sup>居里/公升，一個居里代表與一克鎳處於放射平衡時氮的數量）。

為了提高射氣測量的效率，設計了一種專門的野外射氣儀cr-II，它包括cr-1M型的電流計，與電流計相接是電離室，以及與電離室聯在一起用於取出土壤氣樣品的抽氣機。全部裝置安在三腳架上，當野外工作時單身一人即可攜帶。

快速射氣測量法在於挑選土壤氣樣品，使之經過特制的乾燥器再進入電離室，然後測出此樣品之電離流。測量是緊接樣品選好之後進行。這樣測量比起經過三小時當蛻變產物與氮達到平衡時再測量靈敏度要低些，但卻大大地加快了測量過程。因為當進行射氣測量時重要的在於探明氮的高濃度區，而濃度的精確數值並非主要，所以迅速測量是完全正確的。

在樣品選好之後立即測量土壤樣品的放射性，有時可能錯誤地將鈷射氣認作是氮。為了避免這種錯誤應該在發現土壤氣活動性增高的觀測點上，在樣品選好之後經過3—5分鐘後進行補充的測量。經過3—5分鐘後，半衰期為1分鐘的鈷射氣實際上已分解了，余下的活動性將僅和氮以及氮在此時間所積累的蛻變產物有關。

因此，射氣測量可以確定岩石之放射性是與鈾與鈇有關。這是在天然岩體中確定礦化性質的最簡單方式。

沿着剖面進行射氣測量，點與點間的距離是五公尺，剖面之間的距離通常是100—250公尺。對於一個由三人組成的小隊，射氣測量的生產率是每個工作日約做完200個點，儘管測量的效率比較低，但與伽瑪測量相比，它在比例尺大的地區和浮土厚的地區所得結果還是很好的。

為了普查鈾礦，在勘探和開採其他礦石的鑽孔和坑道中進行放射性元素的檢查具有較大的意義，檢查坑道是沿坑道的軸線或坑道的四壁進行伽瑪測量。伽瑪測井是檢查鑽孔的，它是研究鑽孔所穿過的岩石之放射性的方法，伽瑪測井輻射儀包括：帶有計數器（氣體放電計數器或閃爍計數器）的探管和放大的串聯線路，後者通過長達100—120米的電纜與儀器的主要接頭相連，為了檢查較深的石油鑽井需采用適合較大深度的其他測井裝置。

測井方法在於使探管連續地沿鑽井的軸線移動，測量結果藉自動紀錄器記錄下來。

根據伽瑪測井的數據不僅可發現放射性岩石，還可以確定岩石中所含放射性元素之含量，帶有鑑別能量裝置的閃爍伽瑪測井可以區分鈾礦化和鈇礦化，這在進行檢查工作時顯得

特別重要。

当普查鉻矿时，上述方法是主要方法，然而与之同时也还采用其他方法。这里首先應該提到的是鉻量測量，此法在于研究鉻在疏松沉积中的分布情形（鉻的鹽量），鉻量測量的深度决定于鉻在矿体中的含量，矿体厚度，矿体上部岩石的成分和湿度，鉻的分散作用的特性以及其他一系列次要因素，鉻量測量的平均深度为3—5米，鉻样品的分析是在样品經化学處理之后用珠球发光分析法进行，在浓度为 $10^{-4}\%$ 至 $5.10^{-2}\%$ 的范围内发光分析的精确度平均为±25—30%。普查性質的鉻量測量只有当其他方法由于某种原因不能发现鉻矿体的扩散量时始采用（沼澤地区，表土中放射平衡显著地向缺鎳的方向移动，針的放射性底數相当大并且变化无常等）。通常鉻量測量是在其他方法获得結果进行詳查时所采用的一种补充方法。

鉻量測量与普查銅，鉛和其他許多元素所采用的金屬量測量法是类似的，它也和其他的金屬量測量一样，样品是从植被層以下的淺坑中或自手搖鉆孔中采取。

采样是按網格进行，剖面之間的距离决定于研究的詳細程度，点与点之間的距离大概是10公尺。

在圈定鉻的扩散量以后就进行矿体的揭露工作，由于地勢的起伏，在选择山地坑道基点的时候，要估計扩散量迁移的可能性。

近年来，作了一些試驗把鉻量測量应用到水網中鉻分散流的普查，来查明在河底沉积中鉻的高度富集，在河床沉积中鉻的地球化学底數通常不超过 $3.10^{-4}\%$ 但是在鉻矿床分散流的区域，在河底沉积中鉻的富集可以达到 $5—50.10^{-4}\%$ 。因与鉻分散流在水網中部分地可能和鉻矿物的机械搬运有关，那末河底沉积的样品不仅應該作鉻的发光分析，而且應該在閃爍計數器上作确定鎳放射的伽碼研究。

正确的解釋在水網中河底沉积的鉻量測量的結果，需要各方面估計多种多样的地球化学，地貌和水文地質的因素。

在某些場合，为了估价大面积的远見，合理地应用放射性水文地球化学方法，在地下水和鉻矿接触帶中，可能有鉻、鎳氢进入水中。这些元素相互間的比數决定于水的性質，决定于离开放射性元素发源地的距离，还决定于水流过的岩石的性質，在放射性水文地球化学測量时，选取水源的样品并在水样中测定鉻、鎳和氢。发现整个三种元素或只有一种鉻元素浓度增高的地区，就值得注意。氢和鎳或者只有氢的浓度提高的地区，通常作为鉻矿体存在的指南，从利用的觀点来看他們的远見不大。

在水源进行放射性元素濃度的評价應該考慮到区域地球化学的底數。超过区域底數几倍的濃度算是异常。通常对于鉻大于 $11 \times 10^{-5}$ 克/升，对于鎳是 $11 \times 10^{-11}$ 克/升，对于氢是一百个愛曼。但是这些數字只是大略的，并且可以視具体条件大大地改变。

同样也有地植物找寻鉻矿的方法。这种方法是以植物集中鉻的能力作为根据的。在气候

干旱的条件下带有埋藏很深的根茎的系統，植物能够从大約10公尺深的土壤水中夺取鉈。只要选择树的叶子，把它們化为灰燼，并用发光方法测定在灰燼中鉈的浓度，就可以发现在植物里富含鉈的地帶，这些植物可以作为在土壤深处富含鉈的指示，另一种方法是这种方法的变相它利用某些种类植物很容易在富含鉈的土壤中生長来作为鉈的指示剂。目前使用这种方法还很有限，并且估計到可能遭到專家們的强烈反对。

測定矿石和岩石样品中放射性元素特別是鉈的含量乃是對放射性元素普查工作的重要部分。鉈的化学分析很复杂并且耗費时间，而辐射測量法則可既便又迅速地解决相同的任务，因此目前化学分析仅仅是極有限地用作檢驗的方法，而放射性矿石的大宗分析則用辐射測量法进行。

矿块放射性的定性測定用常用的伽瑪或貝它計數管进行之。用特制的其中裝有几个計數器有裝置，在計數器之間放着被分析的标本，这种装置可以半定量地測定矿块中放射性元素的含量。

分析研成粉末的样品，可以在鉈，釔和鐦的样品中精确地測定其含量，如果矿石中存在的元素仅仅是鉈系列或仅是釔系列时，则可按貝它或伽瑪辐射測定样品放射性，使之与标准样品比較，借以求知这些元素的含量。然而因为通常特別是普查工作中，在分析之前并不知道样品中存在的那种放射性元素，因此貝它伽瑪法就成为主要的分析方法，此法可測定样品中鉈之含量，和样品中存在釔系列元素无关，和鉈系列中放射平衡的破坏也沒有关系。此法在于根据貝它与伽瑪射線測量样品之放測性，使之与等量的鉈标准样品相比較。从得到結果按公式  $U = (1+a) A\beta - aA\gamma$  計算出鉈的含量，此法之精确度並不較化学分析遜色。

近年来，开始采用藉閃爍光譜儀的伽瑪辐射光譜測量法的分析放射性矿石样品，閃爍光譜儀可以在任何矿石中，不仅測定鉈，还可以測定釔。

从以上有关鉈矿石普查方法的很簡括的介紹（主要是辐射測量法）說明普查放射性矿床的方法之多样性。

其中某些方法相当复杂，只有技术較好的專家才可采用，而其他方法則極簡單，可以很容易地为找矿群众及爱好者所掌握，群众找矿与地質学家和地球物理学家的普查工作的正确结合乃是找寻鉈矿获得成功之保証。

# 放射性同位素和輻射測量在 地質學中的應用

В.Л. 沙什金

1. 近几年來，核子物理学和原子工业的蓬勃发展，对于我們解决普查和勘探各种有用矿产中所产生的許多形形色色問題，开辟了广阔的前途。輻射測量法原先仅用于放射性及与之伴生的矿石的普查与勘探，最近由于利用人为的放射性同位素，这种方法已用来勘探許多与天然放射性无关的有用矿产。

进行地質制图、普查石油矿藏以及普查与勘探钾鹽矿床时，是利用天然放射性的輻射測量法。

利用人为的放射性同位素的輻射測量法，已經应用到对煤、石油、天然气、硼、重金属元素諸如鉛、鉬、鎢等矿床的勘探。当研究鑽井所通过的岩石和有用矿物时，特別广泛地采用一种所謂放射測井的輻射測量法。

2. 由于不同的岩石和岩层中放射性元素之克拉克值不等，这就促使它們具有不同的 $\gamma$ 活动性。用帶有閃爍計數管的高灵敏度輻射仪和甚至是帶有气体放电計數管的輻射仪測量 $\gamma$ 輻射强度，可以很清楚地分出具有各种克拉克值之岩石的界限。象花崗石、酸性火成岩和粘土質岩石，即被划分成是一些高 $\gamma$ 活动性的岩石，对于碳酸質岩以及多数的石煤及石鹽矿床則屬於低 $\gamma$ 領域。而对于另一些有用矿产如磷灰岩，有时还有鋁土矿和锰矿，由于其中放射性元素含量略多，因此可根据 $\gamma$ 值的增加而分辨这些矿床。

如果磷灰岩中放射性元素的含量与 $P_2O_5$ 呈近似的正比关系，則根据 $\gamma$ 輻射的变化，可以估計矿石中 $P_2O_5$ 的百分比。

利用輻射測量法，已經發現了由含磷灰岩石风化而成的殘积磷矿床。土狀磷灰岩在外貌上和紅棕色砂質粘土无区别，但根据 $\gamma$ 測井的数据却可很好地鉴别他們。

进行地面 $\gamma$ 輻射測量只有当浮土不超过0.5公尺时才可采用，当浮土較厚时，则以采用氡射气測量法为宜。土壤氣中氡的濃度增高，一方面与鉱系元素之高濃度有关，另一方面也和岩石的高的射气性能有关。例如中烏拉尔的变質杂岩中的石墨化岩石，根据其 $\gamma$ 輻射强度和其巖岩、黑云母花崗片麻岩及云母片岩沒有区别，但由于石墨化岩石具有較高射气性能，以致氡的濃度增高，因此射气測量就將它們清楚地区分了。

天然同位素 $K^{40}$ 的放射性被用来测定自然条件下的鉀鹽以及鹽类样品中鉀之含量。一克天然的鉀(0.012% $K^{40}$ )每秒放出28.3 $\beta$ 粒子和3.5 $\gamma$ 量子，在鉀鹽中，实質上常常沒有鉻和钍系列的放射元素，因此鉀鹽的放射性与其中所含之鉀成正比。

$\gamma$  测井测出钾盐层具有 600~700 脉冲/分之最大值，而同时对于石盐层则不超过 15~20 脉冲/分。根据测井图即可以进行测定钾含量定量的解释。

在带有精密的气体放电计数管(AC, CTC-6)的装置上，根据  $\beta$  射线测定样品中钾的含量，测定之准确度为 1~1.5% 的绝对值，生产率为每 8 小时鉴定 20~30 个样品，在地下坑道中进行  $\gamma$  测量可以确定钾盐层的位置，这就减轻了勘探和开采工作的进行。辐射测量法对于开采中的其他阶段如钾盐的选矿和加工可能也有所帮助。

3.  $\gamma\gamma$  测井法的原理是基于扩散的  $\gamma$  辐射与岩石密度之关系。对于组成岩石之轻元素( $Z < 30$ )，带有能量为 0.15~9 百万电子伏特的  $\gamma$  射线，其相互发生的主要作用就是康普敦效应。扩散的  $\gamma$  辐射之强度决定于单位体积中电子的数目，此数目和岩石的密度呈正比。

$\gamma\gamma$  测井装置系由  $\gamma$  射线源， $\gamma$  射线接收器，以及位于二者之间的铅屏组成，全部装置被安装在一密封的钢管中。当整个装置顺着钻井移动时，扩散的  $\gamma$  辐射即被记录在接收器上。其强度决定于岩石密度、钻井孔径、钻井中存在之冲洗液、 $\gamma$  辐射源之能量以及屏之大小和形态等。整个装置的参数和结构(计数管的选择，钢管的厚度)应该指望它记录此种能量辐射，此时岩石中之光电吸收可略而不计。

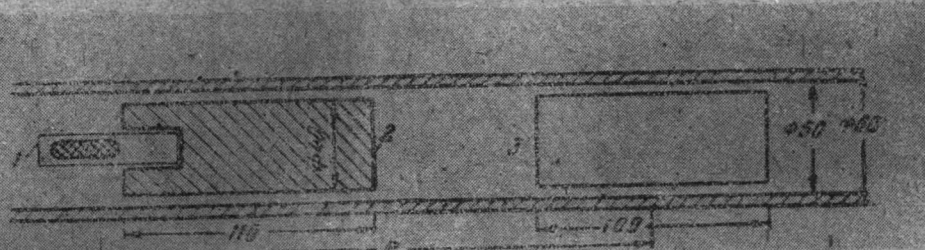


图 1. 在测井钢管内的铅屏、 $\gamma$ -射线源及 $\gamma$ -射线接收器的配置图

1—装 $\gamma$ -射线源的瓶 2—铅屏 3— $\gamma$ -射线接收器 4—筒壁 R—接收器中心和射线源中心之距离。

因此对于密变  $\gamma\gamma$  测井采用较强烈的  $\gamma$  辐射源  $\text{Co}^{60}$ ，钢管壁厚 3~4 mm，并采用 MC 或 CTC 气体放电计数管。对于  $\gamma\gamma$  测井，采用强度为 3~5 微居里的辐射源，探管长度(从辐射源至计数管中部之距离)通常采用 0.5~0.8 m。当钢管上升速度约为 150 米/时， $\gamma\gamma$  测井可继续进行。岩石密度愈大，被记录之  $\gamma$  辐射强度愈小，密度小的岩石(如煤)在  $\gamma\gamma$  测井曲线上显示出最高值，而密度大的岩石(如硫化物矿石)则呈现最低值(图 2、3)。

所记录的扩散  $\gamma$ -辐射强度和岩石密度的关系表现在：一方面是岩石密度的  $\gamma$ -辐射康普敦扩散的必然率，而另一方面是扩散的  $\gamma$ -辐射的吸收。这种吸收是由于  $\gamma$ -辐射的一次生扩散，这时扩散量子的能量就小于该装置记录所必需的能量了。

应将测量点放在探管的中间。这样异常对于岩层就是对称分布了。当岩层厚度大于探管尺寸时，岩层界线可以在  $\gamma\gamma$  测井的曲线上，用高峯高度一半的两点来确定。这样可保证在更换接收器和辐射源的位置时，曲线的形状不变。

钻井直径对  $\gamma\gamma$  测井的结果有着很大影响。若探管长度为 0.7 公尺，被记录在致密岩石里的强度中，扩散到冲洗液里的  $\gamma$ -辐射部分多于 75%。探管长度为 0.5 公尺时，钻井直径减少二厘米，那末扩散的辐射强度即减少 20~25%；而在直径增大 6~10 厘米时，所记录的射

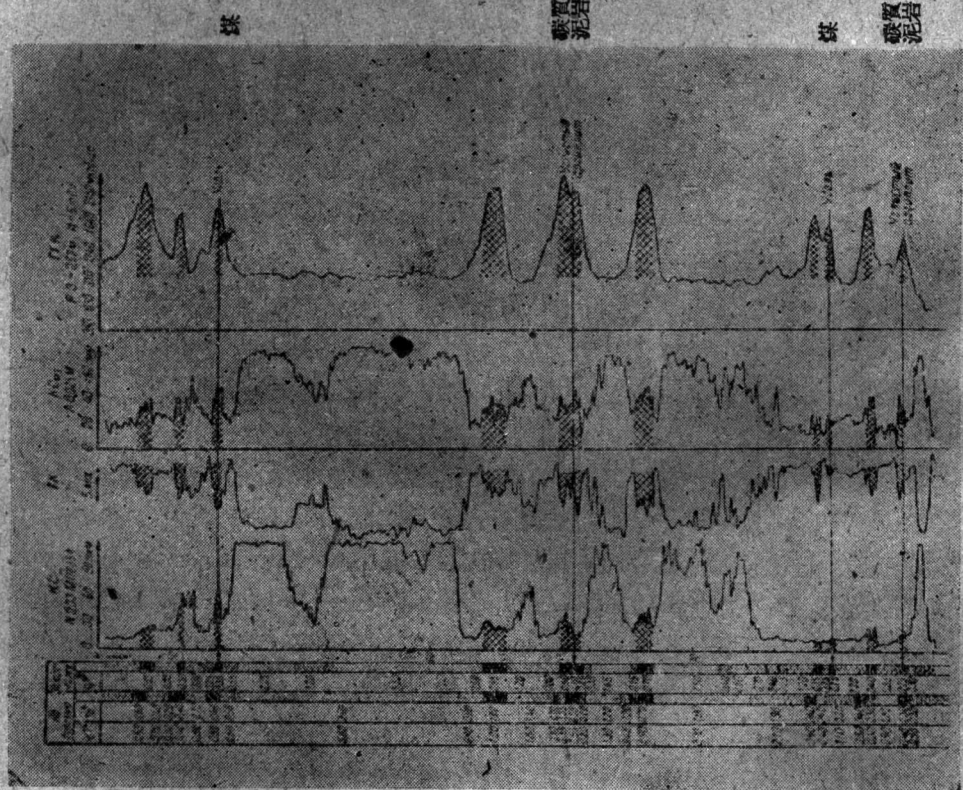


图3. 切井图(图例与图2同)

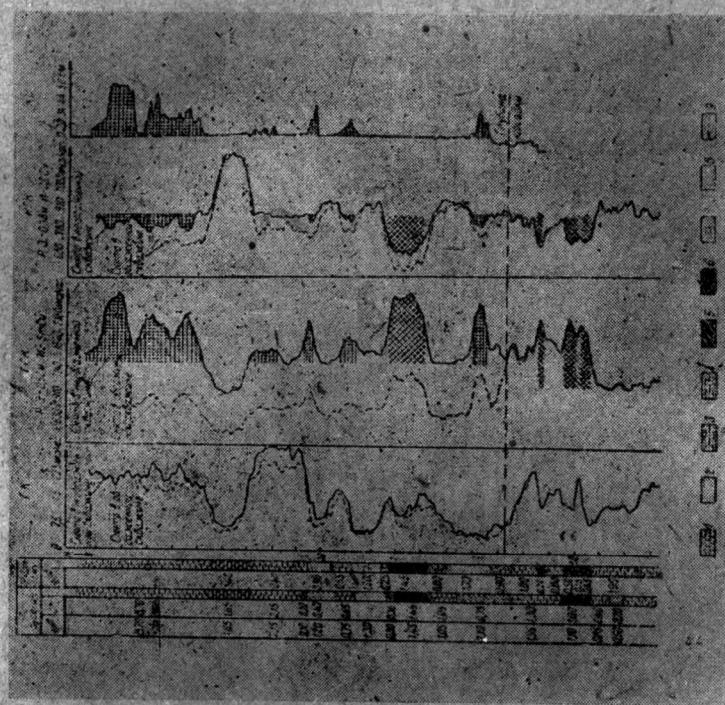


图2. 切井图

- 1—灰岩
- 2—砂
- 3—沙質粘土
- 4—粘土
- 5—炭質泥岩
- 6—褐煤
- 7—断块带包裏体
- 8—泥炭岩
- 9—土壤的透镜层

线就增高到 75~100% 或更大些。

由此可见，鑽井壁上很多空洞在  $\gamma$ - $\gamma$ -测井曲线上以最大值表示出来。这是  $\gamma$ - $\gamma$ -测井方法的最大缺点。为了解释所得结果就要同时进行测定鑽井直徑改变的井徑测量。

要减少冲洗液的影响，就要运用特別裝置探管。在仪器的底部是回轉裝置，它的主要部分是波狀的鉛制扇形片，它是和球形軸承上的軸緊密連接一起的。鉛制扇形片上的槽是用来放置計數器和  $\gamma$ -量子源的。在傾斜的鑽井中，仪器順井壁滑下，在重力作用下，鉛制扇形片位置經常处在鑽井弯曲面。因此輻射源和計數管成为靠近井壁而和冲洗液以鉛层隔开。

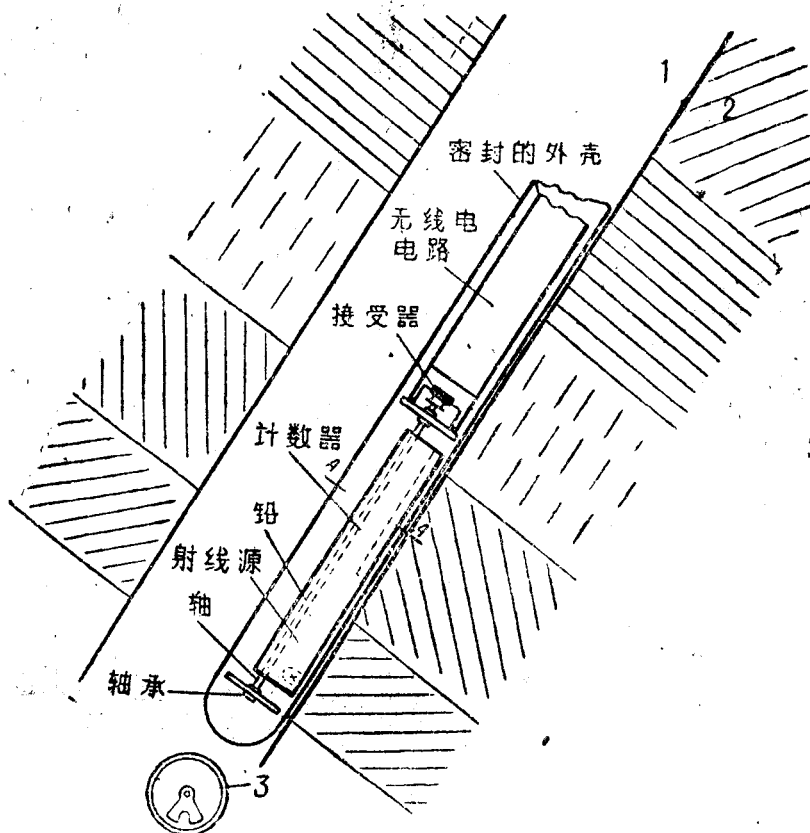


图 4. 用 GFK 仪器测量示意图

1.鑽孔      2.岩层      3.A-A 断面

$\gamma$ - $\gamma$ -测井的穿透深度不能高于几厘米。因此在鑽井壁上所形成的泥层有着很大影响。 $\gamma$ - $\gamma$ -测井的深度随探管長度的增加而增加。这样，泥层的影响就减小了。取  $\gamma$ - $\gamma$ -测井仪的标准可在满裝一定密度物質（如水）的大容器中进行。在这样情况下所得到的計算速度就作为單位。

这种計算表明了当测量  $\gamma$ -辐射强度精确度为 3% 时, 对于 2.7 克/厘米<sup>3</sup> 左右的密度数值, 仪器上所记录岩石密度的最小变动在 0.05 克/厘米<sup>3</sup> 左右。

$\gamma$ - $\gamma$ -测井的方法在煤矿中有着广泛的应用。煤可根据显著的最大值被划分出来。

$\gamma$ - $\gamma$ -测井可以用来测定煤的灰分。其密度是有规律地与灰分的增大同时增高。灰分增大 10% 与其相适应的密度也增高 0.1 克/厘米<sup>3</sup>。这样的密度的改变当辐射源为 5 微居里和探管長度为 0.52 公尺时, 会引起辐射强度改变 200~250 微伦琴/小时。

$\gamma$ - $\gamma$ -测井的方法可用来在勘探石油时区分出具有高密度的岩石(图 5)。密度較小孔隙較多的岩石表示出最大值。在岩石的矿物密度(Su)和充满孔穴的液体密度(SK)已知时, 可以按公式来计算岩石的孔隙度(m):

$$S = Su(1 - m) + SKm$$

4.  $\gamma$ - $\gamma$ -测井的进一步发展, 创造了选择性  $\gamma$ - $\gamma$ -测井。理论计算证明,  $\gamma$ - $\gamma$ -测井时, 当测井探管的结构和参数一定时, 所记录的射线强度与岩石中存在少量高原子序数的元素混入物, 有很大的关系。

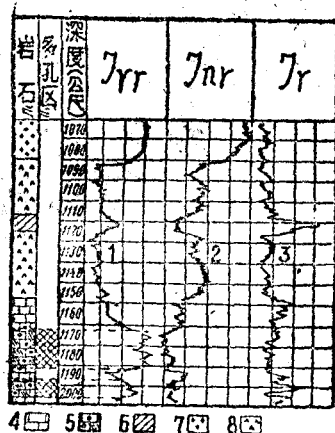


图 5: 用  $\gamma$ - $\gamma$  测井来分层测井中的孔隙岩石。在  $\Gamma\Gamma K$  曲线上最大值是多孔灰岩和岩盐, 而最小值是硬石膏和无孔灰岩。

- 1.  $\gamma$ - $\gamma$ -测井曲线;
- 2. 中子- $\gamma$ 测井的曲线;
- 3.  $\gamma$ -测井曲线;
- 4. 纤维灰岩;
- 5. 多孔灰岩;
- 6. 灰岩;
- 7. 岩盐;
- 8. 硬石膏; 多孔区中用斜线表示

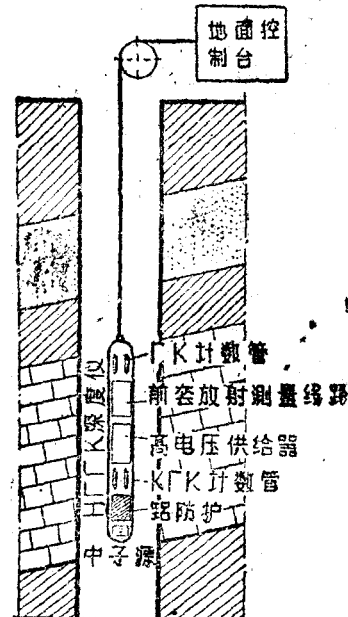


图 6. 放射装臵孔测井图和同时进行  $\Gamma K$  和  $N K$  的深度仪示意图

假如仪器装置的参数和結構是指望记录软射线的话(对于这种软射线, 岩石中光电吸收作用有重大的作用), 那么这种被记录的辐射强度将不仅要取决于密度, 同时也取决于岩石的物质组成, 在某些条件下辐射强度就可以作为岩石成分的指南。

从扩散的  $\gamma$ -辐射谱分布的曲线看出, 如图 6 所示, 在硬的部分中 [ $\varepsilon > 0.5 \text{ meV}$  (0.25 百万电子伏特)], 射线扩散强度实际上并不依赖于介质的成分。这种光谱部分的射线应该用于密度测井中。在量子能量很小的地区, 辐射强度显示出突然增长到最大值, 进一步减少能量

时，突然的下降到零。介質原子序数增大的同时，最大的强度也就下降，而最大值的位置就轉移到大能量方面去。这样的光譜特性就引起了兩种競爭着的作用：在多次康普敦扩散和光电吸收作用中量子能量的減低。第一种作用的强度实际上并不依赖于介質的成分，强度与量子能量同时减小，造成低能量量子的积累；第二种作用的强度与介質原子序数的增大及量子能量的減低同时显著的增高。对于兩种原子序数相差很大的介質在原則上可以挑选具有这样一种能量的初生射綫源。这种射綫將强烈地扩散在原子序数小的介質里。实际上在大原子序数的介質中完全吸收了。在这些条件下第二种介質的少量物質的杂质將对第一种介質引起射綫扩散的显著减弱。

在勘探重金属矿的鑽井中，区分和研究富集重金属的地区是以这个原則作为基础的。重金属浓度很小时，就有把握得到测量的异常效应。实际上这种浓度不影响岩石的密度，这是很多有色金属和稀有金属（鉛、鈷、水銀等）的特征。

選擇性的  $\gamma$ - $\gamma$ -測井和密度測井的区别在于測井装备的結構。这种装备能賴以記錄出量子能量大于 0.05 百万电子伏特的軟  $\gamma$ -射綫。为此，計數管的鋼筒和探管中裝輻射源的容器，應該由易于使軟  $\gamma$  射綫透過的原子序数小的物質制成，由鋁或者更好一点用有机塑膠制成。最好是采用帶有重金属制成的阴极的計數管 (BC 型)，它对于軟  $\gamma$  線具有高的灵敏度，或者用閃爍計數管，它同样对于軟的  $\gamma$  輻射具有高灵敏度。采用帶有閃爍計數管的微分图解用来分出一定的軟  $\gamma$  輻射的帶，看来是有希望的。为了减少洗井液的影响，測井探管應該緊靠井壁，并且它必須具有前已提过的定向灵敏度。

放出軟  $\gamma$  射綫的同位素应当被利用作为最初的  $\gamma$  輻射的放射源，例如利用具有  $\gamma$  量子能量的硒 75 获得成效，采用具有能量为 0.065 和 0.024 百万电子伏特能量的錫 119 和具有 0.159 及 0.089 百万电子伏特的碲 123 也很方便。

当运用碲 123 放射源的时候，存在于岩石中的中等原子序数的金属，如鉛、銻、汞、鈷等，它們使輻射强度减弱，大致每 0.1% 的含量降低强度 20%。另一些金属如錫及鎘，在同样条件下得到的反常效应，是每 0.1% 含量减弱 13%。

当进行選擇性  $\gamma$ - $\gamma$  測井时，沿着井內傳播的射綫，岩石密度和成分的改变（这种改变对被测成分并无联系），对测量会造成干扰。为了减少鑽井中这种射綫影响，除了用与密度測井共同的方法以外，还可在測井探管的表面，在放射源与計數管之間的空間蓋上一层鉛，那么扩散到探管壁和鑽井之間的軟  $\gamma$  線即被鉛所吸收。根据同时进行的密度  $\gamma$ - $\gamma$  測井的資料，可以知道岩石密度的变化。岩石成分变化的效应与被测的异常效应不能截然分开，当需要解决選擇性  $\gamma$ - $\gamma$  測井建立的可能性这一問題时，應該估計每一具体矿体由于成分变化而引起的干扰程度。当估計干扰程度时，仅需考虑重元素含量的变化，因为經常的含量（尽管是高的）并不造成干扰。

##### 5. 中子測井的兩种变态是：中子測井 (ННК) 和中子 $\gamma$ 測井 (НГК)。

当中子測井时，沿着鑽孔移动的探管是含有中子源的，当发现反应堆后，鉢-铍源便是最适当的中子源。在反应器中用热中子照射鉢<sup>209</sup>得到鉢<sup>210</sup>。鉢<sup>209</sup>捕获中子变成鉢<sup>210</sup>，反应是：

